

置における引抜き限界の値については、Fig. 2に示すように、その伸び/絞りの比の値との間に密接な直線的正相関が存在することが判った。しかもこの関係は造塊法あるいは化学成分に関係なく一義的に存在すると思われる。

したがつて軟鋼線材では鋼種すなわち、化学成分あるいは造塊法に関係なく、引張り試験による伸び/絞りの比の値をもつてその引抜き限界を推定することが可能であると思われる。

V. 結 言

今回各種の軟鋼線材について引抜き限界を測定した結果、原素線の引張り試験による伸び/絞りの比の値をもつて、先述のように定義したその引抜き限界を一義的に推定できることを見出した。

文 献

- 田島・津田：金属学会第41回大会（戸畠），(1957)

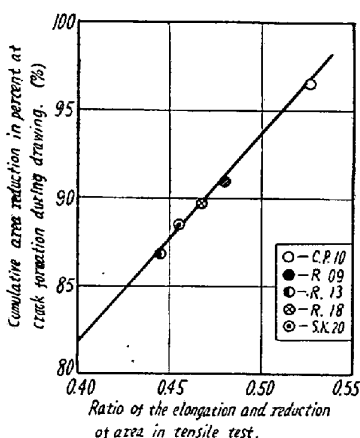


Fig. 2. Relation between the drawability and the ratio of the elongation and reduction of area in tensile test for mild steel used for wire rods.

ることを示した。

本報では中炭素鋼の高温引張試験における延性の変化がAINの形態と密接な関係を示す現象について報告する。また中炭素鋼の鍛鋼あるいは鍛造材の高温割れがAlの添加によって増加する現象の機構およびその防止法などについて考察を行なつたものである。

中炭素鋼の鋼塊の縦割れあるいは鍛造材の高温割れは結晶粒調整の目的で行なわれるAl添加によって増加することが知られている^{2)~5)}。この場合の中炭素鋼は割れの伝播が容易な薄いフェライトネットで囲まれたパライト組織であるが、IRVINEらはAlの影響についてフェライトネット中に析出したAINあるいは硫化物が割れの発生起点となるためではないかと推察している²⁾。DESAIは高温引張試験を行なつてAl添加による600°~700°Cでの延性の減少が鋼塊割れの現象と関係があるとしている³⁾。またBIGGSは同じく高温引張試験を行ない、DESAIと同じく600°~700°Cでの延性の低下を示し、Al添加による割れの増加はAl添加によるフェライトの強度の低下によるものかあるいはIRVINEらの考えと同じくAINの析出によるものではないかと述べている⁴⁾。なお800°Cでの引張試験の結果は両者で相異している。

このような考えにはAlを添加した鍛鋼の常温における脆性に関するLORIGらの報告がヒントとなつてゐるが、彼らはNを多く含有する鍛鋼中にAINと思われる析出物の存在することを光学顕微鏡によつて示している⁵⁾。

II. 実験方法

Al添加量を異にしたC 0.45%, Si 0.30%およびMn 0.80%の中炭素鋼を高周波炉によつて溶製して供試材とした。鋼塊の重量は50kgである。なおAINの影響をはつきりさせるためにNを0.02%程度まで多く含有させた鋼塊も溶製した。高温引張試験片は径6mmおよび標点距離20mmとし、鍛造のままの鋼塊および熱間鍛造後焼処理した棒鋼より削出して500~1000°Cにおける引張試験を行なつた。

またAlの他にTi, V, BおよびZrなどの諸元素を添加した鋼塊を溶製して供試した。

鋼中のAINなどの析出物の観察は前報¹⁾と同じく主としてカーボン抽出レプリカ法によつた。

III. 実験結果ならびに考察

Fig. 1には鋼塊より削出しそのままだちに500°~1000°Cのいろいろの温度で引張試験を行なつた結果の一部を示す。Alの添加はオーステナイト域において延

I. 緒 言

前報¹⁾においては炭素鋼中に析出した窒化アルミニウム(AlN)を電子顕微鏡によつて直接観察した結果について報告し、鋼中のAlNは長方形の薄板状の析出物として存在すること、また析出初期の長さが100Å程度の微細なものから10μを越える長大なものまで観察され

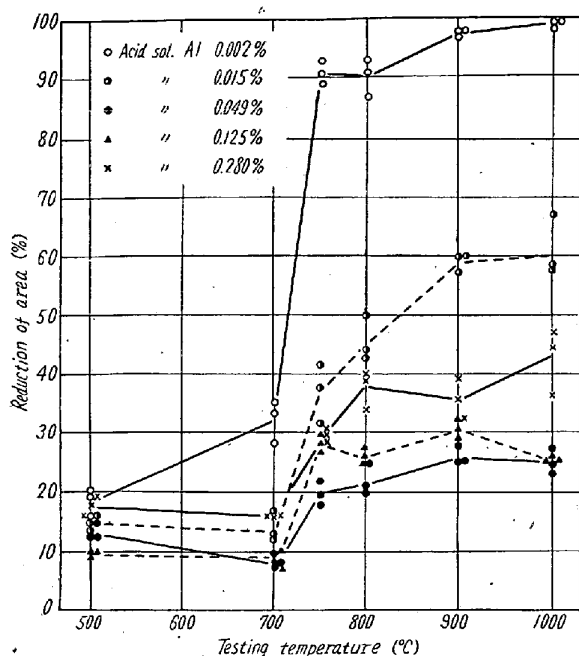


Fig. 1. Effect of aluminum content on high-temperature ductility of medium-carbon steel containing 0.002~0.280% Al and 0.02% N.

Test pieces are 6mmφ (D) × 20 mm (L) in size and are made from a 50kg ingot as cast. Drawing speed is 50mm/mn.

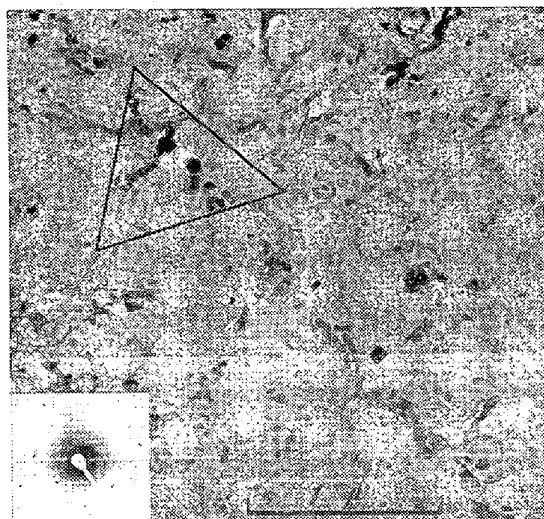


Photo. 1. Electron micrograph by a carbon extraction replica of a tensile test piece containing 0.049% Al and 0.02% N after drawn at 1000°C as shown in Fig. 1.

Small AlN precipitates are lined.

性をいちじるしく低下させていることが判る。なお酸可溶の Al 量が 0.125% およびこれを越える 0.280% の試料では延性の低下が多少回復している。

Photo. 1 は酸可溶の Al が 0.049% の試料の 1000 °C における引張試験片に観察された AlN 析出物を示

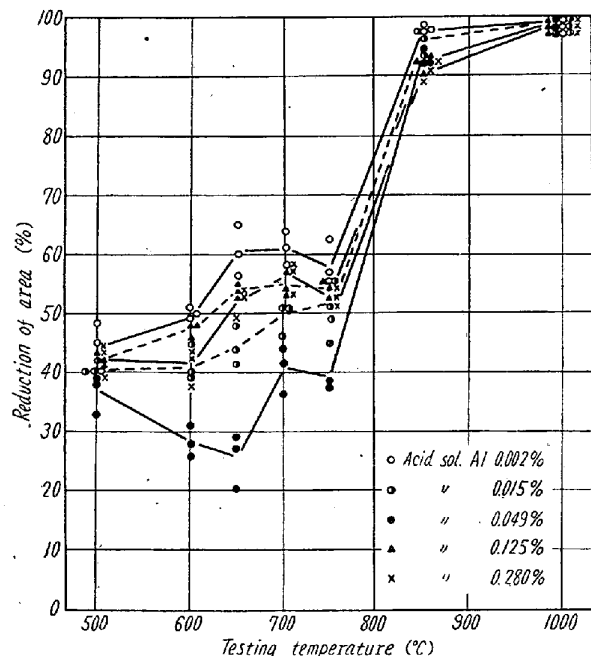


Fig. 2. Effect of aluminum content on high-temperature ductility of medium-carbon steel containing 0.002~0.280% Al and 0.02% N.

Test pieces are heated for 30 mn at 1350°C to solve AlN, cooled slowly (cooling rate 150°C/h) to 1000°~500°C and then drawn.

したものである。Fig. 1 に示したようなオーステナイト域における延性の低下はこのように連続して析出している AlN によるものと思われる。なおこのような AlN 析出物の大部分は鋼塊における最初のオーステナイト粒界に铸造時にすでに析出していたものである。

Fig. 2 は Fig. 1 におけると同じく鋼塊より削出した試験片を 1350°C のアルゴンガス雰囲気中で 30 分間加熱して AlN を溶解させた後 150°C/h の速度で 1000°~500°C のいろいろの温度まで徐冷した後にその温度で引張試験を行なった結果である。Fig. 1 に見られたような Al 添加によるオーステナイト域での延性のいちじるしい低下は見られない。これは電子顕微鏡による観察の結果 AlN が溶解した高温からの徐冷によって析出した大型の AlN は孤立して散在しており、Photo. 1 に示したように連続して分布していないためであると思われる。

一方 1350°C より徐冷せずに 1000°~500°C のいろいろの温度まで急冷してただちにその温度で引張試験を行なった結果は Fig. 1 と同じ傾向を示していた。Photo. 2 は 1000°C における引張試験片に観察される AlN 析出物を示したものである。このようにオーステナイトの粒界に連続して析出した AlN が延性を低下させる原因

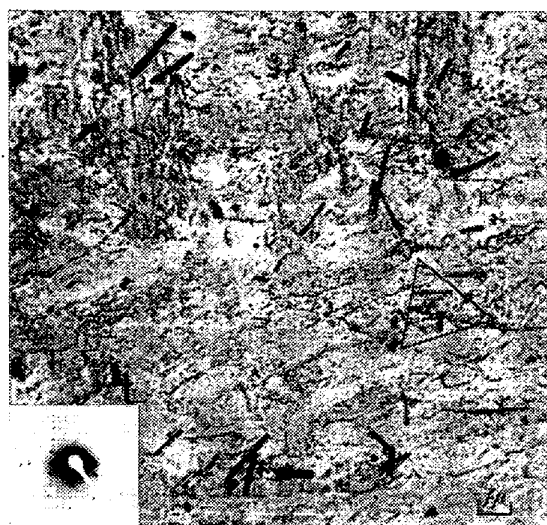


Photo. 2. Electron micrograph by a carbon extraction replica of a tensile test piece containing 0.049% Al and 0.02% N after drawn at 1000°C.

The test piece is heated for 30 min at 1350°C to solve AlN, cooled rapidly to 1000°C and then drawn. Small AlN precipitates are lined along the austenite grain boundary.

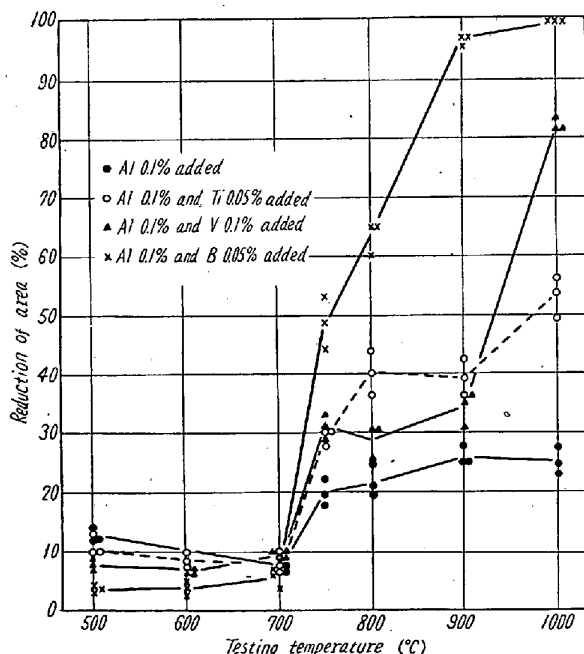


Fig. 3. Effect of Al, Al+Ti, Al+V and Al+B addition on high-temperature ductility of medium-carbon steel containing 0.02% N. Test pieces are drawn as shown in Fig. 1.

であると思われる。

Fig. 3 は Al の他に Ti, V および B をそれぞれ添加した試料と Fig. 1 において最も低い延性を示した試料（酸可溶の Al 0.049%）との比較を行なった結果で

ある。Fig. 1 と同じく鋼塊より削出してそのまま直ちにいろいろの温度で引張試験を行なつた結果であるが、Al 以外のこれらの諸元素の添加はいづれも Al 添加によつて失われた延性を回復させており、とくに B の添加はいちじるしく有効であることを示している。これは電子顕微鏡による窒化物の観察の結果鋼中における各種の窒化物の形態の相異によるものであることが判つた。

Fig. 1~3 および Photo. 1 および 2 はいづれも N を多く含有させた試料についての結果であるが、N 含有量が低いふつうの試料においても Al 添加による高温延性の低下はいちじるしく、微量の AlN が大きな影響をおよぼすことが判つた。

文 献

- 1) 長谷部: 鉄と鋼, 46 (1960) 3, p. 332~335
- 2) K. J. IRVINE and F. B. PICKERING: Iron & Steel, 30 (1957), p. 219~223
- 3) S. C. DESAI: J. Iron & Steel Inst. (U.K.), 191 (1959), p. 250~256
- 4) B. L. BIGGS: J. Iron & Steel Inst. (U.K.), 192 (1959), p. 361~377
- 5) 谷口, 栗山および井上: 鉄と鋼, 46 (1960), p. 291~293
- 6) C. H. LORIG and A. R. ELSEA: Trans. Amer. Foundry. Assoc., 55 (1947), p. 160~174

(109) 溶接熱影響部の割れにおよぼす 窒化アルミの影響

(鋼中の窒化アルミの研究—III)

住友金属工業中央技術研究所 長谷部茂雄
Effect of AlN on the Cracking at the Welding Heat-Affected Zone.

(Study of aluminum nitride in steel—III)

Shigeo Hasebe.

I. 緒 言

前報¹では中炭素鋼を対象にしてその高温延性と窒化アルミ (AlN) 析出物の形態に密接な関係のあることを報告したが、本報では溶接構造用低 Mn 鋼の溶接熱影響部割れと AlN 析出物の関係について調査した結果を報告する。

溶接構造用鋼の溶接熱影響部割れ（溶接ビード下割れともいう）におよぼす鋼材の含有成分の影響については多くの報告があり、割れの発生機構について多くの研究が行なわれている。しかし Al 量の影響はとくに複雑